

東京都市立大学工学部 正員 ○ 宮川 浩
同 正員 宇井 正和

1. 緒言 水力発電所の調圧水槽と貯水池と結合する管内の流体振動は速度の2乗に比例した減衰項を導入すればより解かれていけるが、その比例定数の求め方にについてあまり述べられていない。連結管内の流体振動を考へる場合、管路両端で静水圧分布を仮定すると、断面急変の影響を表現できなくなる。筆者等は運動量方程式と厳密に適用すると、一様管路部の壁面抵抗に起因する部分と、断面急変部に起因する部分とに減衰係数を分離してみたところ、前者については U字管振動の減衰率の実測値より対応する係数を求め、後者については Weisbach による管内アーリフィスの損失係数から得られた値と併せて、(図-2)にて連結管振動を示す実験結果と比較し、良好な一致を得た。

2. 疑似定常の仮定による連結管振動

(図-2)の一様管路部の流体に付する軸対称、軸方向運動の一様性を仮定すると、軸方向局部流速 $U(r, t)$ は次式を満足する¹⁾。

$$\frac{\partial U}{\partial t} = -g \frac{\partial}{\partial x} \left(\frac{P}{\rho g} + h \right) + \frac{1}{r} \frac{\partial}{\partial r} \left(r \frac{\partial U}{\partial r} \right) \quad \dots \dots \dots (1)$$

$2\pi dr$ を束ねて管軸から管壁まで積分すれば次式を得られる。 $\Sigma = 1, V, T$ はそれぞれ管半径断面平均流速、壁面剪断応力を表す。

$$\frac{\partial V}{\partial t} = -g \frac{\partial}{\partial x} \left(\frac{P}{\rho g} + h \right) + \frac{2}{r} \frac{\tau_0}{S} \quad \dots \dots \dots (2)$$

一様管路両端での静水圧分布を仮定すれば、
重力勾配 $-\frac{2}{S} \left(\frac{P}{\rho g} + h \right) = -\frac{f}{L} \left(\frac{A_1}{A_2} + \frac{A_2}{A_1} \right) = -\frac{n^2}{S} \beta$, $\beta =$
疑似定常の仮定から Darcy-Weisbach 公式を準用
すれば $2\tau_0/(S\beta) = fV^2/(4L)$, ここで $L = nT$,
 $\beta = \beta/r$, $r = s$, 無次元化すれば式(2)は次式に
変形される。但し $+ \rightarrow$ 正流, $- \rightarrow$ 逆流である。

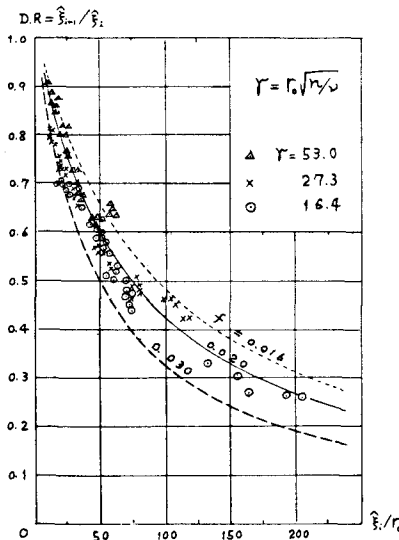
$$\frac{d^2 \beta_s}{dt^2} \pm \frac{f}{4} \left(\frac{d\beta_s}{dt} \right)^2 + \beta_s = 0 \quad \dots \dots \dots (3)$$

$m = f/2$ と置換すれば式(3)は積分式無次元
振幅 Σ の極大値 Σ_0 と極小値 Σ_1 で終る
半周期の振動 $= (\Sigma_0 - \Sigma_1)/2$ 次式を満足する²⁾。

$$\ln(1+m\Sigma_1) - (1+m\Sigma_0) = \ln(1+m\Sigma_0) - (1+m\Sigma_1) \dots (4)$$

大形幅 U字管実験($s=3$) peak to peak ~ 1 周期
減衰率を式(4)は計算値と比較して結果を
(図-1)にて示す。best fit は f の値は 0.02
 ~ 0.03 である。

(図-1) U字管振動に基く
摩擦損失係数 f



3. 連結管運動 I = 二つの断面急変部の影響

連結管 I = 二つの大水槽と断面積 A_1, A_2 の一様管路と想定した時の自由水面と水槽底近傍との間の ζ の式が成立。 $\zeta = \zeta_i$ は底面近傍の圧力を表す。

$$\begin{aligned} -\frac{\rho^2}{g}(H_1 - \zeta_1) \cdot \zeta_1 &= (H_1 - \zeta_1) - \frac{P'_1}{\rho g} \\ -\frac{\rho^2}{g}(H_2 + \zeta_2) \cdot \zeta_2 &= -(H_2 + \zeta_2) + \frac{P'_2}{\rho g} \end{aligned} \quad \left. \begin{aligned} \frac{P'_1}{\rho g} &= (H_1 - \zeta_1)(1 + \frac{\rho^2}{g}\zeta_1) \\ \frac{P'_2}{\rho g} &= (H_2 + \zeta_2)(1 - \frac{\rho^2}{g}\zeta_2) \end{aligned} \right\} \dots \dots \quad (5)$$

大水槽底面近傍と一様管路底部との間の ζ の運動方程式を適用し、管路底部の圧力 P_i と式(5)の P'_i との関係を求めめる。 P_i は水槽底面上の圧力とすると。

$$\begin{aligned} A_1(P_i - P_1) - P_1 &= \rho \nabla_1 A_1 (\nu - \nabla_1), \quad \text{但し } P_1 = \int_{A_1-a} (P_{01} - P_1) dA \\ A_2(P_2 - P'_2) + P_2 &= \rho A_2 \nabla_2 (\nabla_2 - \nu), \quad P_2 = \int_{A_2-a} (P_{02} - P_2) dA \end{aligned} \quad \dots \dots \quad (6)$$

式(5), (6)より P'_i を消去し、管路底部の運動方程式の差 $(\frac{P_1}{\rho g} + h_1) - (\frac{P_2}{\rho g} + h_2)$ を式(2)に代入する。 $\omega/g = (P_1/A_1 - P_2/A_2)/\rho g = C\nu^2/2g$ より $\omega = \sqrt{2g(C\nu^2)}$ が得られる。

$$\frac{d^2 \xi_*}{dt_*^2} = \left(\frac{f}{4} + \frac{C}{2l_*} \right) \left(\frac{d\xi_*}{dt_*} \right)^2 + \left\{ 1 - \left(\frac{\alpha H_1}{A_1 l_*} + \frac{\alpha H_2}{A_2 l_*} \right) \right\} \cdot \xi_* = 0 \quad \dots \dots \quad (7)$$

図-2 は以下の実験条件で $D_1 = D_2 = 5d$, $l_* = 380.6$ 及び 212.6 で ω/g の面積比 $1/25$ の管内オリフィスの損失係数 f は相当である。 Weisbach の実験式から損失係数を求めると $f_C = C_0 \frac{\nu^2}{2g}$ 定義で $C_0 = 1250$ であり、一様管路の速度水頭で表現する時は

$$C = C_0 \times \left(\frac{\alpha}{A} \right)^2 = 2.0 \approx 3.0.$$

$$l_* = 380.6 \text{ 及び } 212.6 \text{ で } f = 0.02 \text{ とする} \Rightarrow m \approx 0.0153$$

$$\text{計算} \Rightarrow m = 0.0153 \text{ 及び } \nu = 0.0194 \text{ となる}.$$

図-2 の m は計算値である。

計算値と実験値の合致は良好である。更に資料を参考するとより興味がある結果が期待できる。

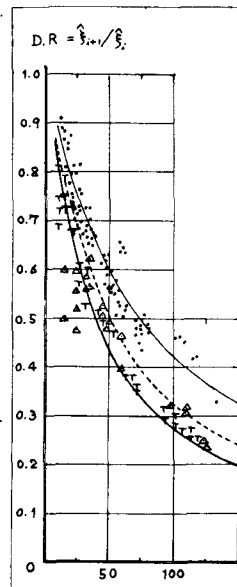
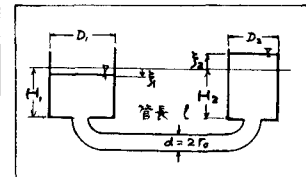


図-2 連結管の減衰率

実験条件	
$D_1 = D_2 = 5d$	$l_* = 1/r_0$
$\Delta l = 380.6$	$T = 212.6$



[謝辞] 本研究は昭和52年度文部省科学研究費(代表者 堀川清司教授)によって行われることを付記し、深甚なる謝意を表します。

[参考文献] 1) 安川、田川 "管内自由振動流 I: (実) 基礎的研究" 土木学会論文集 208号
2) 本日 『水力学』 丸善